

相关信道下 MIMO 系统误符号率的研究

贺中堂¹, 许苏晓¹, 张力军²

(1. 徐州空军学院, 江苏 徐州 221000;

2. 南京邮电大学 通信与信息工程学院, 江苏 南京 210003)

摘要: 研究在基于发射相关信道的 MIMO 系统中, 采用线性 ZF 接收机时各子数据流信噪比的概率分布; 利用随机矩阵理论, 推导了信噪比概率密度函数公式; 给出了采用 MPSK 调制时, 各子数据流误符号率的闭式公式; 在发射端采用均匀线阵条件下, 分析了角度扩展对误符号率的影响。

关键词: MIMO 相关信道 误符号率 ZF 接收机

MIMO(多输入多输出)系统在发射端和接收端采用多天线技术, 可以充分利用空间资源, 在不增加发射功率和带宽的前提下提高系统容量, 并能有效地改善系统性能, 因而在第四代移动通信系统中有重要的应用价值。理论研究表明对准静态、平坦衰落信道, 当接收天线数 r 大于等于发射天线数 t 时, MIMO 系统容量将随发射天线数的增加而线性增长^[1]。为获得极限容量, 提出了两类接收机结构: 非线性接收机(如 BLAST 系列算法^[2])和线性接收机(如采用 ZF 或 MMSE 算法的接收机)。由于 BLAST 系列算法结构复杂, 目前低复杂度线性接收机的研究引起了业界的广泛关注^[3,4]。

实际应用中, 真实无线信道通常与角度扩展、散射物和天线距离等因素有关。各天线间的衰落存在一定的相关性, 关于衰落相关性对 MIMO 系统的影响, 目前研究主要集中在对信道容量的分析和优化上^[5-7], 而对采用低复杂度线性接收机的 MIMO 系统的误符号率目前研究较少。文献[8]对存在发送相关的 MIMO 系统, 利用 Wishart 矩阵分析理论, 得出了各个子数据流误符号率上界的一个近似表达式。文献[9]研究了采用 ZF 接收机的 MIMO 系统各子数据流 SNR 的概率分布, 得出了 SNR 概率密度函数解析表达式。本文利用该结果, 研究当存在发射相关时, 采用 MPSK 调制时系统的误符号率, 得出其闭式表达式, 并分析不同角度扩展对 MIMO 系统误符号率的影响, 最后给出仿真结果及结论。

1 信道模型

考虑一 $r \times t$ 的窄带 MIMO 系统, 接收天线数为 r , 发射天线数为 t 。接收信号等效离散时间系统模型为

$$y = Hx + w \quad (1)$$

其中 x 为 $t \times 1$ 维复发射信号向量, 其协方差矩阵 $R_x = E[xx^H] = I_t$, $(\cdot)^H$ 表示共轭转置, I_t 为 $t \times t$ 的单位矩阵; H 为 $r \times t$ 维信道矩阵; 其元素 $h_{mn} [m=1, 2, \dots, r; n=1, 2, \dots, t]$ 表示发射天线 n 与接收天线 m 间的路径增益, 为零均值、循

环对称的复高斯随机变量; w 为 $r \times 1$ 维 AWGN 矢量, 其均值为 0; 方差矩阵为 $E[ww^H] = N_0 I_r$, N_0 为噪声功率, $N_0 = \sigma_n^2$, I_r 为 $r \times r$ 维单位矩阵。

信道为准静态慢变 Rayleigh 衰落信道, 并假设所有天线组成部分都有相同辐射形式, 空间相关性独立于阵列中天线的方位, 因此所有组成部分有相同的散射。在此基础上, 发射端与接收端天线统计特性可分离, 由文献[9], 信道矩阵 H 和信道的协方差矩阵 R_c 可以写为:

$$H = R_c^{1/2} H_w T^{1/2} \quad (2)$$

$$R_c = R \otimes T \quad (3)$$

其中 $R_c = E(HH^H)$ 为 $rt \times rt$ 维信道协方差矩阵, $h = \text{vec}(H)$, 是将 H 的列向量堆积而形成的 $rt \times 1$ 维的列向量, R 和 T 分别为 $r \times r$ 和 $t \times t$ 接收端和发送端的空间协方差矩阵。 H_w 各元素为独立同分布、均值为 0、方差为 1 的复随机变量。信道矩阵 H 的分布可以表示为:

$$H \sim N_{r,t}(0, R \otimes T) \quad (4)$$

实际应用中基站通常都架设得比较高, 且基站天线之间的间距也不大, 不同收发天线之间的衰落具有较强的相关性, 通常在市区环境中。因此可以将传输信道描述为一个发射信道衰落强相关、接收信道衰落独立的模型, 本文只考虑发射相关, 因此令 $R = I_r$; 假定发射端采用均匀线阵(ULA), 发射相关矩阵由文献[11]给出, 发射端相关系数为:

$$[T]_{m,n} = e^{-j2\pi(m-n)d_i \cos(\theta_i)} e^{-\frac{1}{2}(2\pi(m-n)d_i \sin(\theta_i)\sigma_i)^2} \quad (5)$$

其中 θ_i 为平均离开角 (AOD), σ_i^2 为发射端的角度扩展 (AS), d_i 为天线间距与波长之比。图 1 为 $\theta_i = \pi/2$ 时, 相关系数与天线间距与波长比及角度扩展的关系。可以看出在天线间距与波长比及 θ_i 固定的情况下, 相关性随角度扩展的增加而减小。这表明在发射端散射环境较弱时 (AS 小), 天线间的相关性强, 而散射环境较强时 (AS 大), 天线间的相关性弱。

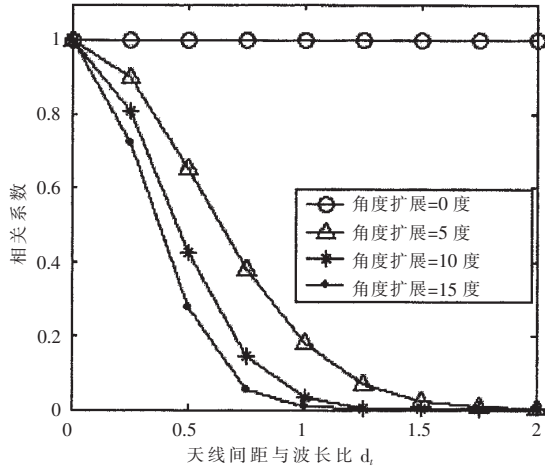


图 1 相关系数与角度扩展关系

2 ZF 接收机信噪比的统计特性

假定接收端采用 ZF (迫零) 算法, 则接收信号 (1) 式可以写为:

$$y[m] = \sum_{i=1}^t h_i x_i[m] + w[m] \quad (6)$$

其中 h_1, \dots, h_t 为信道矩阵 H 的列向量, 即 $H = [h_1, \dots, h_t]$, $x_i[m]$ 为第 m 个时刻第 i 个天线的发射符号。对第 k 个数据流, 上式可写为:

$$y[m] = h_k x_k[m] + \sum_{i \neq k} h_i x_i[m] + w[m] \quad (7)$$

接收端采用迫零均衡器 G , 则:

$$G = (H^H H)^{-1} H^H \quad (8)$$

则 $GH = I_t$, 第 k 个子信道的信噪比可以写为:

$$\gamma_k = \frac{1}{N_0 [(GG^H)]_{kk}} = \frac{1}{N_0 [(H^H H)^{-1}]_{kk}} \quad (9)$$

为研究 γ_k 的统计特性, 由方程 (7) 将信道矩阵作以下分块, 即 $H = [h_k; \hat{H}]$, \hat{H} 由 H 中 $i \neq k$ 的各列向量组成。方程 (9) 可以写为:

$$\gamma_k = \frac{1}{N_0} h_k^H (I_r - \hat{H}(\hat{H}^H \hat{H})^{-1} \hat{H}^H) h_k \quad (10)$$

由文献 [9], γ_k 的分布可表示为:

$$\gamma_k \cong \frac{1}{N_0 [(T)^{-1}]_{kk}} \mu^H (I_r - B) \mu = \alpha_k \mu^H (I_r - B) \mu \quad (11)$$

其中 $\alpha_k = \frac{1}{N_0 [(T)^{-1}]_{kk}}$, $B = \hat{H}_w (\hat{H}_w^H \hat{H}_w)^{-1} \hat{H}_w^H$, 可以证明 B 是幂等矩阵。

证明: 令 $B = \hat{H}_w (\hat{H}_w^H \hat{H}_w)^{-1} \hat{H}_w^H$, 则:

$$\begin{aligned} B^2 &= \hat{H}_w (\hat{H}_w^H \hat{H}_w)^{-1} \hat{H}_w^H \times \hat{H}_w (\hat{H}_w^H \hat{H}_w)^{-1} \hat{H}_w^H \\ &= \hat{H}_w (\hat{H}_w^H \hat{H}_w)^{-1} \hat{H}_w^H = B \end{aligned}$$

由此可推得 $I_r - B$ 也是幂等矩阵。由于幂等矩阵其特征值为 1 或零, 故 $\text{rank}(B) = t - 1$, 则 $n = \text{rank}(I_r - B) = r - t + 1$, 由文献 [12] 高斯随机变量二次型定理可知 γ_k 具有自由

度为 n 的 χ^2 分布, 由此可推导出其概率密度函数为:

$$p(\gamma_k) = \frac{e^{-\gamma_k/\alpha_k}}{\alpha_k \Gamma(n)} \left(\frac{\gamma_k}{\alpha_k}\right)^{n-1} = \frac{e^{-\gamma_k/\alpha_k}}{\alpha_k \Gamma(n)} \left(\frac{\gamma_k}{\alpha_k}\right)^{r-t} \quad (12)$$

其中, $\Gamma(n)$ 为 gamma 函数。而对于等收发天线的系统 $r = t$, 则 $n = 1$, (12) 式将退化为指数分布, 即:

$$p(\gamma_k) = \frac{1}{\alpha_k} e^{-\gamma_k/\alpha_k} \quad (13)$$

由此推导出了采用 ZF 接收机时, 各子数据流 SNR 的概率密度函数。下面采用 MPSK 调制, 推导各子数据流的误符号率。

3 ZF 接收机的误符号率

下面考虑当发射信号采用 MPSK 调制时, 第 k 个子数据流的误符号率, 可利用如下结果 [13]:

$$P_{k, \text{MPSK}}(\gamma_k) = \text{erfc}\left(\sqrt{\gamma_k} \sin \frac{\pi}{M}\right) \quad (14)$$

则 k 个子数据流的平均误码率为:

$$\begin{aligned} P_{k, \text{MPSK}} &= \int_0^\infty P_{k, \text{MPSK}}(\gamma_k) p(\gamma_k) d\gamma_k \\ &= \int_0^\infty \text{erfc}\left(\sqrt{\gamma_k} \sin \frac{\pi}{M}\right) \frac{e^{-\gamma_k/\alpha_k}}{\alpha_k \Gamma(n)} \left(\frac{\gamma_k}{\alpha_k}\right)^{r-t} d\gamma_k \\ &= \left[1 - \frac{2\sqrt{\alpha_k} \sin \frac{\pi}{M} \Gamma\left(n + \frac{1}{2}\right)}{\sqrt{\pi} \Gamma(n)} {}_2F_1\left(\frac{1}{2}, \frac{1}{2} + n; \frac{3}{2}; -\alpha_k \sin^2 \frac{\pi}{M}\right) \right] \end{aligned} \quad (15)$$

式中, ${}_2F_1\left(\frac{1}{2}, \frac{1}{2} + n; \frac{3}{2}; -\alpha_k \sin^2 \frac{\pi}{M}\right)$ 是高斯超几何函数, 定义见附录。

若采用 BPSK 调制, 其误码率为 [13]:

$$p_2(\gamma_k) = \frac{1}{2} \text{erfc}\left(\sqrt{\gamma_k}\right) \quad (16)$$

由此可以求得 k 个子信道的误码率为:

$$\begin{aligned} P_{k, \text{BPSK}} &= \int_0^\infty p_2(\gamma_k) p(\gamma_k) d\gamma_k \\ &= \frac{1}{2} \left[1 - \frac{2\sqrt{\alpha_k} \Gamma\left(n + \frac{1}{2}\right)}{\sqrt{\pi} \Gamma(n)} {}_2F_1\left(\frac{1}{2}, \frac{1}{2} + n; \frac{3}{2}; -\alpha_k\right) \right] \end{aligned} \quad (17)$$

对比 (15) 式和 (17) 式, 可以发现, 进行计算时对采用 BPSK 的系统, 若用 (15) 式计算则应除以 2 (对 BPSK, $M = 2$)。对于非相关平衰落信道, 对应 $T = I_t$, 若采用 1×1 即单发单收系统, 则 (17) 式的结果为:

$$P_{k, \text{BPSK}} = \frac{1}{2} \left[1 - \sqrt{\frac{\alpha_k}{1 + \alpha_k}} \right] \quad (18)$$

与文献 [13] 给出瑞利衰落信道下误符号率结果完全一致。

对于 $r = t$ 的系统, 则 (15) 式可以简化为下式:

$$P_{k, \text{BPSK}} = \int_0^\infty P_{k, \text{MPSK}}(\gamma_k) p(\gamma_k) d\gamma_k = 1 - \sqrt{\frac{\alpha_k \sin^2 \frac{\pi}{M}}{1 + \alpha_k \sin^2 \frac{\pi}{M}}} \quad (19)$$

由上面的分析可知,在存在发射相关的情况下,各子数据流误符号率与 α_k 有关,而 α_k 决定于发射相关矩阵逆矩阵的对角元素。因此存在发射相关情况下,各子数据流误符号率与发射相关矩阵逆矩阵的对角元素有关,而不是其特征值。

以上针对各种情况,给出了采用ZF均衡器时第 k 个数据流的误符号率,则系统总误符号率可用下式计算:

$$P = \frac{1}{t} \sum_{k=1}^t P_{k, \text{MPSK}} \quad (20)$$

4 仿真结果与分析

(1)仿真时采用的模型由本文第一部分给出,随机产生 20 000 个信道样本,利用(9)式或(10)式,计算其中一个子流的信噪比,并统计求其概率密度。图2在信噪比等于 10dB, $\theta_i = \frac{\pi}{2}$, 角度扩展 $\sigma_i^2 = 5^\circ$, $d_i = \frac{1}{2}$, 天线配置分别采用 $2 \times 2, 4 \times 2, 6 \times 2$ 时,对比了仿真给出的 pdf 与(12)、(13)式给出的理论值的结果。对 2×2 的系统其 SNR 分布为指数分布,而对于等收发天线的系统其 SNR 分布与 2×2 的系统具有相同的分布。对 $4 \times 2, 6 \times 2$ 的系统其 SNR 的分布分别服从自由度为 3 和 5 的 χ^2 分布,由图2可以看出仿真曲线与理论曲线基本吻合,可见本文理论分析结果的正确性。

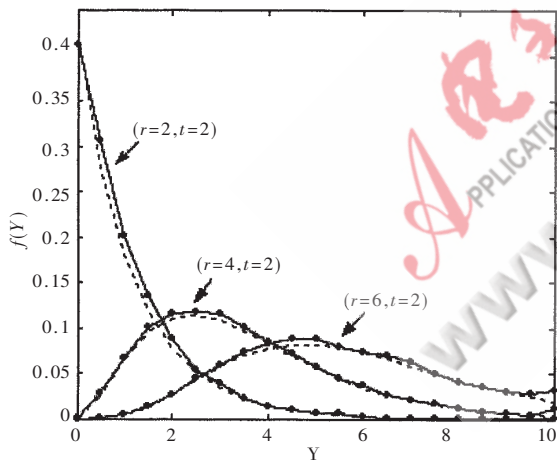


图2 第 k 个数据流 SNR 的 pdf (实线为仿真曲线,虚线为理论曲线)

(2)图3在 $\theta_i = \frac{\pi}{2}$, 角度扩展 $\sigma_i^2 = 5^\circ$, $d_i = \frac{1}{2}$, 天线配置采用 $2 \times 2, 4 \times 2, 6 \times 2$, 系统采用 8PSK 调制时,给出仿真的误符号率曲线与(15)、(19)式给出的理论曲线的对比结果,可以看出,两者基本吻合。

(3)图4在天线配置采用 $4 \times 4, 8PSK$ 调制时,分析了 $\theta_i = \frac{\pi}{2}$, $d_i = \frac{1}{2}$, 角度扩展分别为 $2^\circ, 5^\circ, 10^\circ$ 以及完全不相关信道(对应 $T=I$)的误符号率与角度扩展间的关系,从图中可以看出当角度扩展 $< 5^\circ$, 对应发射端散射环境较弱时,由发射相关对系统的误码率影响较大,这时可通

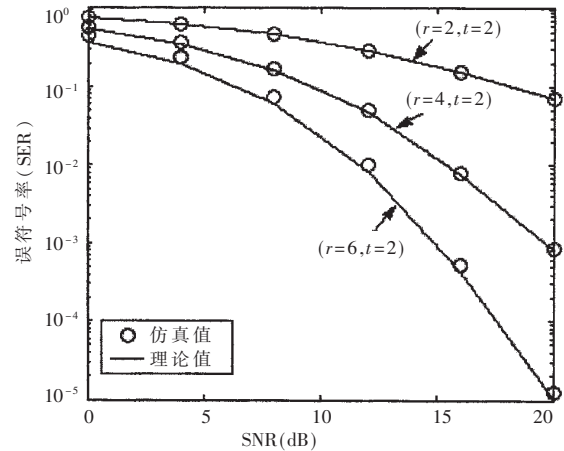


图3 不同天线配置下仿真误符号率与理论值对比

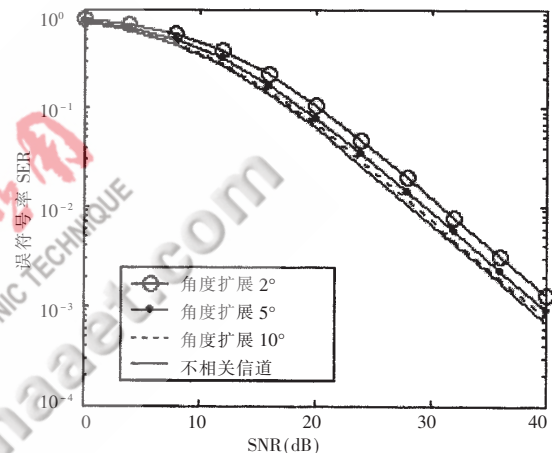


图4 角度扩展对误符号率的影响

过增加天线间距来降低误符号率;当角度扩展 $> 5^\circ$, 对应发射端散射环境较强时,发射相关矩阵对系统的误码率影响较小,与完全不相关信道相比,其影响可以忽略。

参考文献

- [1] EMLRE T. Capacity of multi-antenna gaussian channel[J]. European Trans, Telecommun., 1999, 10(6):586-595.
- [2] WOLNIANSKY, FOSCHINI, GOLDEN, et al. V-BLAST: an architecture for realizing very high data rates over the rich-scattering wireless channel[A]. Proc IEEE ISSSE '98 [C]. Pisa, Italy, 1998:295-300.
- [3] LEIF W H, ALEX JU G. Optimal transmit covariance for ergodic MIMO channels[J]. Proc. IEEE Intl. Symp. Inform. Theory, ISIT, Sept. 2005.
- [4] DANIEL P P, JOHN M C. Joint Tx-Rx beamforming design for multicarrier MIMO channels: A unified framework for convex optimization[J], IEEE Transactions on Signal Processing, 2003, 51(9):2381-2400.
- [5] KOTECHA J H, SAYEED A M. Transmit signal design for optimal estimation of correlated MIMO channels[J]. IEEE Transactions on Signal Processing, 2004, (2).
- [6] VU M, PAULRAJ A. Capacity optimization for rician corr-

- elated MIMO wireless channels[A]. Proc.39th Asilomar Conf.Sig.Sys.and Comp,Nov.2005.
- [7] WINTERS J H, SALZ J, GITLIN R D. The impact of antenna diversity on the capacity of wireless communication systems[J]. Transactions on communications, 1994,42: 1740-1751.
- [8] GORE D, HEATH R W Jr. Transmit selection in spatial multiplexing systems[J].IEEE communications Letters,2002, 6(11):491-493.
- [9] MARIO K, JOACHIM S. Analytical performance of MIMO zero-forcing receivers in correlated rayleigh fading environment[C], IEEE Signal Processing Advances in Wireless Communication, 2003,(6).
- [10] LIU Hua Ping, SONG Yongxiong, ROBERT C Q. The impact of fading correlation on the error performance of MIMO systems over rayleigh fading channels[J]. IEEE Transactions on wireless communications,2005,4(5): 2014-2019.
- [11] BOLCSKEI H,BORGMANN M, PAULRAJ A J. Impact of the propagation environment on the performance of space-frequency coded MIMO-OFDM[J], IEEE J. Select. Areas Commun.,2003,21(3):427-439.
- [12] 罗鹏飞,张文明.统计信号处理基础-估计与检测理论[M].北京:电子工业出版社,2003.
- [13] 张力军,张宗橙,译.数字通信(第四版)[M].北京:电子工业出版社,2003. (收稿日期:2006-12-26)